◇药学研究◇

# 白藜芦醇诱导人肺腺癌 A549 细胞细胞凋亡 及其与 p38 MAPK 信号途径的联系

华丛书1,陈 海1,张朝东1,赵 欢2,陈晓宇2

摘要 目的 探讨白藜芦醇(Res)诱导人肺癌 A549 细胞株 凋亡及其与 p38 MARK 信号通路的联系。方法 CCK-8 法 检测 Res 对人肺癌 A549 细胞增殖抑制作用,Annexin V-FITC/PI 双染法检测 Res 对肺癌 A549 细胞凋亡率,Western blot 法检测 Res 对人肺癌 A549 细胞 Caspase 剪切片断 (Caspase-1、Caspase-3) 表达的影响,及其对丝裂原激活蛋白 激酶(MAPK) 通路蛋白(p38、p-p38) 表达的影响。结果 Res 对人肺癌 A549 细胞株生长呈浓度依赖性的抑制作用,48 h的 Res 作用肺癌 A549 的半数抑制浓度( $IC_{50}$ ) 值为( $I0.6 \pm$ 

1. 2) μmol/L。用 10 μmol/L Res 处理 A549 细胞 24、36、48 h,细胞凋亡率较对照组明显增加(P < 0.01)。 Res 作用于 A549 细胞 48 h 后, Western blot 法检测显示 Caspase-1、Caspase-3 蛋白出现断裂片断,p38、p-p38 表达亦增高。结论 Res 明显诱导人肺癌 A549 细胞毒作用,诱导 A549 细胞凋</li>

关键词 细胞凋亡; 信号通路; 白藜芦醇; 肺癌 A549 细胞中图分类号 R 737.3

亡,其机制与激活 p-p38 MAPK 途径有关。

文献标志码 A 文章编号 1000-1492(2015)10-1447-04

2015 - 06 - 15 接收

基金项目: 国家自然科学基金项目( 编号: 81373421)

作者单位: 1安徽省胸科医院胸外科,合肥 230022

<sup>2</sup>安徽医科大学组织胚胎学教研室,合肥 230032

作者简介: 华丛书, 男, 硕士;

陈晓宇,男,博士,教授,硕士生导师,责任作者,E-mail: chenxy@ahmu.edu.cn

天然的多酚类化合物白藜芦醇(resveratrol, Res)广泛存在于葡萄、虎杖、花生等植物体内。近年来,Res 的药理作用得到充分研究,Res 具有广泛的生物学和药理学活性,如抗氧化、抗炎、免疫调节、抗肿瘤和神经保护等效应<sup>[1]</sup>。研究<sup>[2]</sup>证实,丝裂原激活蛋白激酶(mitogen-actived protein kinase,

# Establishment of mouse model of acute liver injury induced by cadmium chloride

Wu Yongqin<sup>1</sup>, Guan Cunjie<sup>1</sup>, Liu hongmao<sup>2</sup>, et al

( The First School of Clinical, School of Public Health, Anhui Medical University, Hefei 230032)

Abstract *Objective* To establish the mouse model of acute liver damage induced cadmium chloride and elucidate the mechanism of Cd-induced-liver injury. *Methods* The adult male mice were intraperitoneally (i. p.) injected with a single dose of CdCl<sub>2</sub>(4 mg/kg) and killed at different time(6, 12, 18, 24 h) after Cd treatment, or administrated with different doses of CdCl<sub>2</sub>(1, 2 or 4 mg/kg) i. p. and sacrificed at 18 h after Cd exposure. The control group received only equal volumes of normal saline. Histopathology of liver tissues, serum of ALT, AST and MDA, and MDA, NO, GSH, GSH-PX of liver tissues were observed. *Results* 18 hours after the treatment of using 4 mg/kg dosage, i. p, liver tissues appeared visible pathological changes with severe ballooning degeneration and necrosis, the levels of ALT and AST in serum were obviously higher. In addition, at 18 h after Cd treatment, the levels of MDA and NO in liver tissues significantly increased in the cadmium group, however, the level of GSH and the activity of GSH-PX in liver tissues significantly decreased. *Conclusion* A mouse model of acute liver injury is successfully established by intraperitoneal injection with 4 mg/kg CdCl<sub>2</sub> at 18 hours after Cd treatment. The mechanism might be associated with the increase of MDA and NO and the decrease of the level of GSH and the activity of GSH-PX in liver tissues.

Key words cadmium chloride; acute liver injury; animal model; MDA; NO; GSH

MAPKs) 信号转导途径是多种细胞的生存、凋亡信号传导,p38 通路通常介导细胞的凋亡。有关 Res 对肺癌的作用报道较少,该研究拟探讨 Res 对人肺癌 A549 细胞增殖的影响,Res 能否诱导 A549 细胞发生凋亡,及其与激活 p38 MAPK 信号转导通路之间的关系。

### 1 材料与方法

1.1 材料 人肺癌细胞株 A549 购自上海中科院 药物研究所,传代培养; Res(纯度≥99.8%) 购自美国 Sigma 公司,溶解于 DMSO; RPMI 1640 培养液、胎牛血清购自美国 Gibco 公司; CCK-8 试剂盒购自日本 DOJINDO 公司; CO₂ 培养箱购自日本 Sanyo 公司; 倒置显微镜购自日本 Olympus 公司; 酶标仪 680型购自美国 Bio-Rad 公司; Annexin V - FITC/PI 凋亡检测试剂盒购自上海晶美生物公司; p38、磷酸化(p-p38)、ECL 化学发光剂购自美国 Cell Signal 公司; 兔多克隆抗体 Caspase 剪切片断(Caspase-1、Caspase-3)、β-actin 及抗兔二抗购自美国 Santa Cruz公司; BCA 蛋白定量试剂盒购自美国 Pierce 公司; 细胞裂解液购自美国 Upstate 生物技术公司; 其他试剂为国产分析纯。

#### 1.2 方法

- 1.2.1 细胞培养和传代 人肺癌 A549 细胞用 RP-MI 1640 培养液(含 10% 的胎牛血清) 置于 37  $^{\circ}$  、 5% CO<sub>2</sub> 培养箱培养,每 3 d 更换 RPMI 1640 培养 1 次。当 A549 细胞生长至 80% 融合时,0. 25% 胰蛋白酶消化、传代细胞。
- 1.2.2 Annexin V-FITC/PI 双染细胞法检测 在检测 Res 的 IC<sub>50</sub>后,用 10 μmol/L Res 处理 A549 细胞 24、36、48 h,收集不同时间点 Res 处理 A549 细胞,

- 胰酶消化,PBS 洗涤 2 次,每次 10 min,3 000 r/min 离心 5 min; 1 ×结合缓冲液调整细胞密度为 1 × 10<sup>6</sup> / ml。取单细胞悬液 0.5 ml,加入 Annexin V-FITC 1.25 μl,室温 18 ~ 24 ℃、避光、静置 15 min 后离心; 吸弃上层液体,加 1 × 结合缓冲液 0.5 ml 重悬细胞,加入 PI(10 mg/L) 10 μl 染色,将标本置于冰块中、避光。1 h 内在流式细胞仪上测定细胞凋亡率。
- 1.2.3 Western blot 法检测 取处于对数生长期的 人肺癌 A549 细胞, RPMI 1640 稀释至 3×10<sup>5</sup>个/ml, 25 ml 小培养瓶中接种培养,不同浓度 Res(1、10、 30 μmol/L) 的药物作用 48 h 后, 收集 A549 细胞, PBS 洗涤 2 次,每次 10 min,加入 100 µl 细胞裂解 液,15 000 r/min离心 10 min,BCA 蛋白定量试剂盒 定量蛋白,将蛋白浓度调整一致。取裂解蛋白40 μg,加入3×SDS 上样缓冲液,95 ℃变性 10 min。配 制 12% 的 SDS-PAGE 分离胶,凝胶电泳后,电转移 至硝酸纤维膜上,5%脱脂牛奶封闭,依次加入相应 的一抗(兔多克隆抗体 Caspase-1、Caspase-3、p38、pp38) 4 ℃孵育过夜,以 GAPDH 作为内参。次日,pH = 7.4 的 TBST 缓冲液 (10 mmol/L Tris-Hcl, 150 mmol/L NaCl, 0.1% Tween 20) 洗涤 3 次,每次 10 min,加入相应二抗,37 ℃ 孵育 1 h,TBST 缓冲液洗 膜 3 次,在室温下孵育 2 h,洗涤 3 次,每次 10 min, 加入 ECL 检测目的条带的表达,放入暗盒中压片,2 ~5 min 后显影、定影。
- **1.3 统计学处理** 应用 SPSS 16.0 软件进行分析,数据以 $\bar{x} \pm s$  表示,多组均数的比较采用方差分析。

#### 2 结果

- 2.1 Res 对肺癌 A549 细胞体外增殖活性的抑制作用 Res(1.5.10.20 和 50  $\mu$ mol/L) 对 A549 肿瘤细胞具有明显的增殖抑制作用(F=8.641, P=0.027), 48 h, 对 A549 细胞 IC<sub>50</sub>时 Res 浓度值为( $10.6\pm1.2$ )  $\mu$ mol/L,95% 可信区间为 56.2 ~ 63.6。与溶剂对照组比较,Res 能明显抑制 A549 细胞的增殖,且呈现明显的浓度 效应关系。见图 1。
- 2.1.1 流式细胞术检测细胞凋亡率 本研究采用 10  $\mu$ mol/L Res 处理 A549 细胞,24、36、48 h,细胞凋亡率分别为(15.2 ± 2.7)%、(22.8 ± 3.6)%、(29.6 ± 3.7)%,溶剂对照组细胞凋亡率仅为(2.3 ± 1.2)%,表明细胞凋亡率显著增加(F = 13.476,P = 0.006)。见图 2。

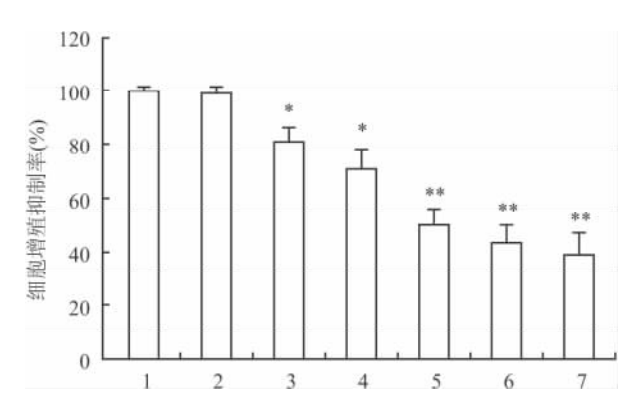


图 1 Res 作用 48 h 后 A549 细胞增殖率的变化

1: 空白对照组; 2: 溶剂对照组; 3: Res 1 μmol/L; 4: Res 5 μmol/L; 5: Res 10 μmol/L; 6: Res 20 μmol/L; 7: Res 50 μmol/L; 与溶剂对照组比较: \*P<0.05, \*\*P<0.01

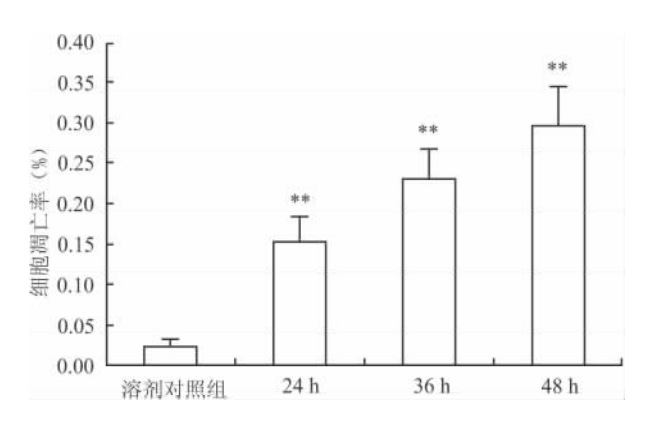


图 2 Res 处理 A549 细胞 24、36、48 h 细胞凋亡率 与溶剂对照组比较: \*\* P < 0.01

2.1.2 Res 对肺癌 A549 细胞中 Caspase-I、Caspase-3 蛋白剪切的影响 完整的 Caspase 复合物 (Caspase-I、Caspase-3) 无活性,剪切后其被激活。用不同浓度 Res(1、10、30 µmol/L) 作用于肺癌 A549细胞 48 h后,Western blot 法检测显示,随着 Res 浓度的升高,Caspase-I、Caspase-3 断裂片段升高明显。而未用 Res 处理的溶剂对照组无断裂片段表达(图3)。结果显示,Caspase-I 和 Caspase-3 已被快速活化,从而诱导肺癌 A549 细胞凋亡。

2.2 Res 诱导肺癌 A549 细胞凋亡的 p38 MAPK 通路的的影响 Western blot 法检测  $10~\mu$ mol/L Res 处理肺癌 A549 细胞 24.36.48~h,结果表明,24~h后 p-p38 MAPK 显著增加,且随着时间的延长,p-p38 MAPK 增加更为明显,总的 p38 MAPK 的变化不明显(图 4)。可见,p-p38 是其活性形式,这表明 Res 激活了 p38 信号转导通路。

#### 3 讨论

Res含有多酚结构,具有较强的抗炎、抗氧化和

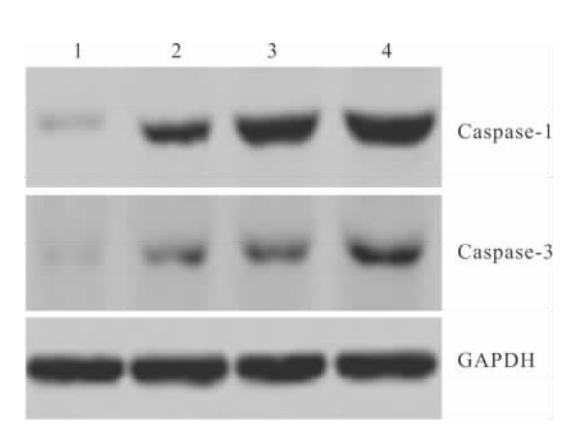


图 3 Western blot 法检测不同浓度 Res 作用后 Caspase-1、Caspase-3 断裂片段表达

1 溶剂对照组; 2: Res 1 μmol/L; 3: Res 10 μmol/L; 4: Res 30 μmol/L

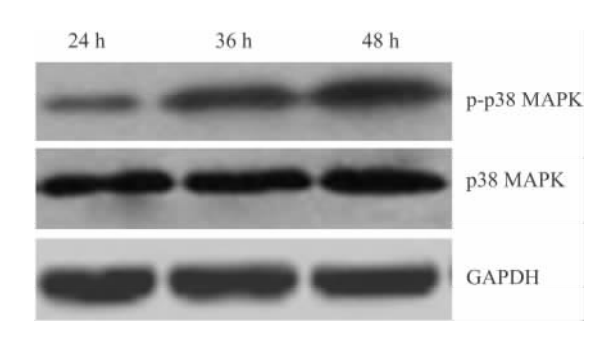


图 4 Western blot 法检测 Res 处理肺癌 A549 细胞 24、36、48 h p38 蛋白表达

抗自由基、调节机体免疫力作用<sup>[1]</sup>。研究<sup>[3]</sup>显示, Res 对肿瘤的发生、发展具有干扰和保护作用,Res 能够防止细胞癌变、抑制肿瘤细胞的扩散。本研究 结果表明,与溶剂对照组比较,Res 对肺癌 A549 细 胞具有明显的增殖抑制作用,随着 Res 剂量的升高, 其抑制作用增强,呈现明显的浓度-效应关系。

本研究表明,Res 对肺癌 A549 细胞具有很强的增殖抑制作用。为证实此作用是否与促进肺癌 A549 细胞凋亡有关,本研究应用 Res(10 µmol/L)处理 A549 细胞,流式细胞术显示,Res 作用 24、36、48 h,肺癌 A549 细胞凋亡率明显高于溶剂对照组,具有一定的时间 - 效应依赖关系。故 Res 有抑制肺癌 A549 细胞增殖的作用,促进肺癌 A549 细胞凋亡。

研究<sup>[4]</sup>表明,Res 通过影响凋亡相关基因表达影响诱导肿瘤细胞的凋亡,Res 可通过 Fas-FasL 途径诱导人直肠癌细胞株发生凋亡现象。Caspase-1和 Caspase-3在细胞凋亡过程中起着关键作用。Caspase-1位于细胞凋亡途径的上游,其发生剪切后活化,活化的 Caspase-1作为始动 Caspase 复合物,

进一步诱导效应 Caspase-3 的活化,导致 Caspase-3 也发生断裂,降解重要底物,使得蛋白酶级联切割放大,使细胞最终走向凋亡<sup>[5]</sup>。本研究中,肺癌 A549 细胞中的 Caspase-1 和 Caspase-3 蛋白在加入 Res 处理后均发生断裂,且呈浓度依赖关系。故 Res 能诱导 A549 细胞发生凋亡,其机制与 Caspase 复合物的活化和级联放大效应相关。

为探讨 Res 诱发肺癌 A549 细胞凋亡的可能机制,本研究检测了 p38 MAPK 信号通路有关蛋白的表达。p38 MAPK 含有丝氨酸/苏氨酸残基的蛋白激酶,广泛分布于细胞质与细胞核中,p38 MAPK 激活后可调节细胞增殖、凋亡等活动<sup>[6-7]</sup>。p38 定位于静止细胞的胞质中,激活后,p38 移位至细胞核,激活一系列转录因子,引起级联反应。如 p38 磷酸化激活转录因子,参与转录因子复合物 AP-1 的构成,进一步调节肿瘤坏死因子-α、p53、原癌基因等基因的表达,引起细胞凋亡<sup>[8]</sup>。本研究显示 Res 明显激活 p38 途径,调控肺癌 A549 细胞凋亡,但其机制仍需进一步研究。

### 参考文献

[1] Chen X, Lu J, An M, et al Anti-inflammatory effect of resveratrol on adjuvant arthritis rats with abnormal immunological function *via* the reduction of cyclooxygenase-2 and prostaglandin E2 [J]. Mol

- Med Rep, 2014, 9(6): 2592 8.
- [2] Oh C C, Nguy M Q, Schwenke D C, et al. p38α mitogen-activated kinase mediates cardiomyocyte apoptosis induced by palmitate [J]. Biochem Biophys Res Commun, 2014, 450(1):628 33.
- [3] Soufi F G, Mohammad-Nejad D, Ahmadieh H. Resveratrol improves diabetic retinopathy possibly through oxidative stress-nuclear factor κB-apoptosis pathway [J]. Pharmacol Rep., 2012, 64 (6):1505-14.
- [4] Delmas D, Rébé C, Lacour S, et al. Resveratrol-induced apoptosis is associated with Fas redistribution in the rafts and the formation of a death-inducing signaling complex in colon cancer cells
  [J]. J Biol Chem, 2003, 278 (42): 41482 90.
- [5] Edebali N, Tekin I Ö, Açkgöz B, et al. Apoptosis and necrosis in the circumventricular organs after experimental subarachnoid hemorrhage as detected with annexin V and caspase-3 immunostaining [J]. Neurol Res, 2014, 36(12):1114-20.
- [6] Chen C Y, Chen Y K, Wang J J, et al. DC-81-enediyne induces apoptosis of human melanoma A375 cells: involvement of the ROS, p38 MAPK, and AP-1 signaling pathways [J]. Cell Biol Toxicol, 2013, 29(2):85-99.
- [7] 张晶晶,吴永贵,张 培,等. 白芍总苷对糖尿病大鼠肾组织 p38 MAPK 磷酸化与 NF-xB 表达的影响 [J]. 安徽医科大学学报,2008,43(5):534-7.
- [8] Kim J H, Jung S H, Yang Y I, et al. Artemisia leaf extract induces apoptosis in human endometriotic cells through regulation of the p38 and NF-kB pathways [J]. J Ethnopharmacol, 2013,145 (3):767-75.

## Apoptosis induced by resveratrol in human lung cancer A549 cells and relation with p38 MAPK signal pathway

Hua Congshu, Chen Hai, Zhang Chaodong, et al ( Dept of Thoracic Surgery, Anhui Province Chest Hospital, Hefei 230022)

Abstract *Objective* To study resveratrol( Res) -induced apoptosis in human lung cancer A549 cells and relation with mitogen-actived protein kinase( MAPK) signal pathway. *Methods* Cytotoxicity was analyzed by CCK-8 method. Apoptotic cells were stained with Annexin V – FITC/ PI and were detected by flow cytometry. Protein expressions of cleavage of the Caspases ( Caspase-1, Caspase-3) and MAPK( p38, p-p38) were detected by Western blot analysis. *Results* Res inhibited proliferation of A549 cells with IC<sub>50</sub> value of ( 10. 6 ± 1. 2) μmol/L and induced cell apoptosis. Compared with the control group, apoptotic ratio increased rapidly within 24, 36, 48 h after Res ( 10 μmol/L) treatment. Cleavage of the Caspase-1, Caspase-3 was observed in A549 cells treated with different doses of Res for 48 h. p38, p-p38 were activated. *Conclusion* Res inhibits proliferation and induces apoptosis of A549 cells. Activation of p38 pathways may be one of its mechanisms.

Key words apoptosis; signal pathway; resveratrol; lung cancer A549 cells